



مدل‌سازی زمان سفر معابر شهری با استفاده از روش یادگیری ماشین گرگ صحراي اميركبير

امير گل رو^{*}، اميرحسين فاني، حامد ناصرى

دانشکده مهندسي عمران و محيط زیست، دانشگاه اميرکبیر، تهران، ايران.

تاریخچه داوری:

دریافت: ۱۳۹۸/۱/۰۶

بازنگری: ۱۳۹۹/۰۲/۲۸

پذیرش: ۱۳۹۹/۰۲/۲۸

ارائه آنلاین: ۱۳۹۹/۰۳/۰۸

كلمات کلیدی:

پيش بيني زمان سفر

معابر شهری

رگرسیون

یادگیری ماشین

الگوریتم گرگ صحراي اميركبير

خلاصه: زمان سفر به عنوان یکی از تأثیرگذارترین پارامترها در تحلیل عملکرد شبکه راهها به جهت مدیریت و برنامه‌ریزی آتی شبکه و همچنین مهم‌ترین متغیر در فرآیند انتخاب مسیر استفاده کنندگان از راه‌می‌باشد. پیش‌بینی زمان سفر در طول چنددهه به عنوان یک موضوع پژوهشی در زمینه شرایط شبکه و سیستم‌های هوشمند حمل و نقل به روش‌های مختلفی انجام شده است. در این راستا، در این مقاله مدل‌سازی پیش‌بینی زمان سفر معابر شهری شریانی درجه یک و دو در ساعت غیر اوج صورت گرفته است. در وهله اول، طراحی آزمایش جهت نمونه برداری صورت گرفته و پارامترهای موثر بر زمان سفر معابر شهری بررسی شدند. سپس داده‌ها به وسیله روش ماشین شناور و به کمک یک نرم افزار تلفن همراه در ۶ معبر منتخب برداشت شدند. پس از آماده سازی داده‌ها، متغیرهای زمان توقف تقاطع، تعداد خطوط و شبکه به عنوان متغیرهای موثر در مدل پیش‌بینی زمان سفر شناخته شدند. یک روش جدید یادگیری ماشین مبتنی بر الگوریتم گرگ صحراي اميركبير شمالي برای مدل‌سازی زمان سفر معرفی گردید و وقت مدل ساخته شده با پنج مدل رگرسیونی مرسوم مقایسه گردید. بر اساس نتایج به دست آمده و بر مبنای بررسی ۵ شاخص عملکردی در نظر گرفته شده برای ارزیابی صحت و دقت مدل‌ها، گرگ صحراي اميركبير شمالي از تمامی مدل‌ها دقت بالاتری داشته و ضریب تعیین این مدل برای داده‌های آموزشی و آزمایشی به ترتیب برابر ۰/۷۴۶ و ۰/۷۳۴ می‌باشد. همچنین این مدل ۷۳٪ داده‌های آزمایشی را با خطای کمتر از ۲۰ ثانیه پیش‌بینی می‌کند.

۱- مقدمه

نقليه از طريق GPS) و تشخيص اتوماتيك ماشين^۱ (قرار دادن دو حسگر در طول يك راه و شناسايي ماشينهای عبوری در اين فاصله) هستند [۲]. روش ساده‌تر استفاده از يك وسیله نقليه و پیمودن مسیر مشخص شده توسط آن و ثبت اطلاعات زمان سفر و سایر متغیرهای مسیر می باشد [۳]. در اين پژوهش از روش دوم برای جمع آوري اطلاعات استفاده شده است.

پيش بيني زمان سفر معابر شبکه ترافيكی به طور کلی در دو گروه آزادراه و بزرگراه و معابر شهری و شريانی مورد بررسی قرار می گيرد. بسياری از مدل های ساخته شده برای پيش بیني زمان سفر برای آزادراه ها و بزرگراه ها میباشند زيرا جريان در اين معابر نامقطع و ساخت مدل زمان سفر ساده تر است. همچنین متغیرهای موثر بر زمان سفر در معابر شهری به دليل وجود تقاطع ها و چراغ های راهنمایی پیچیده تر میباشد [۴]. در اين پژوهش، نمونه برداری و مدل‌سازی برای معابر شهری و شريانی انجام شده است.

روش های متفاوتی برای مدل‌سازی و پيش بیني زمان سفر ارائه شده است که می توان آن ها در ۴ دسته مختلف مورد بررسی قرار داد. دسته

به دليل افزايش شلوغی و تراکم در شبکه راه ها، پيش بیني زمان سفر معابر شبکه ترافيكی به يك بخش مهم در سیستم های اطلاع رسانی به رانندگان^۲ بدل شده است. اين سیستمهای کاربران کمک میکنند تا مسیرهایی با زمان سفر پایین تر را انتخاب کنند. زمان سفر عبارت است از کل زمانی که يك وسیله نقليه برای پیمودن يك مسیر مشخص از يك نقطه شبکه به نقطه ای دیگر با احتساب توقف ها، تاخیرهای در صفر و تاخیرهای در تقاطع ها طی میکند [۱].

زمان سفر از اطلاعات ترافيكی استخراج می شود. اطلاعات ترافيكی میتوانند از روش های مختلفی استخراج شوند. يك روش قرار دادن يك يا چند حسگر در طول راه و برداشت اطلاعات ترافيكی از طريق آن ها است. اين حسگرهای کونه های مختلفی تقطیر شناساگر نقطهای^۳ (ثبت تعداد ماشین های عبوری از يك نقطه)، شناساگر بازهای^۴ (ثبت اطلاعات وسائل

1 Advanced Traveler Information System

2 Point Detector

3 Interval Detector

* نویسنده عهده‌دار مکاتبات: agolroo@aut.ac.ir

4 Automatic Vehicle Identification (AVI)

حقوق مؤلفین به نویسنده‌گان و حقوق ناشر به انتشارات دانشگاه امیرکبیر داده شده است. این مقاله تحت لیسانس آفرینندگی مردمی (Creative Commons License) در دسترس شما قرار گرفته است. برای جزئیات این لیسانس، از آدرس <https://www.creativecommons.org/licenses/by-nc/4.0/legalcode> دیدن فرمائید.



روز و ساعت و وضعیت آب و هوایی [۱۲] و غیره در نظر گرفته شده است. برای تعیین معیار یادگیری مدل از روش ساده و معروف مینیمم مجذور مریعات [۱۳] تا روش پیچیده مینیمم آنتروپی [۱۱] استفاده شده است. در سال‌های اخیر، روش‌های جدید مبتنی بر الگوریتم‌های فراابتکاری^۶ ابداع شده و در علوم مختلف مورد استفاده قرار گرفته‌اند لیکن کاربرد آن‌ها در موضوع پیش‌بینی زمان سفر مشاهده نمی‌شود. ناصری و همکاران [۱۴] با استفاده از الگوریتم چرخه آب^۷ یک روش یادگیری ماشین^۸ جدید ارائه کردند و این مدل در پیش‌بینی طرح مخلوط بتن حاوی خاکستر بادی مورد استفاده قرار گرفت. نتایج آن پژوهش، بر دقت بالای روش پیش‌بینی مبتنی بر الگوریتم‌های فراابتکاری دلالت داشت. همچنین، گلفسانی و بهمنود [۱۵] با استفاده از الگوریتم بیوگرافی^۹ یک روش جدید یادگیری ماشین ارائه کردند و روش مذکور در پیش‌بینی طرح مخلوط پهپنه بتن حاوی دوده سیلیس مورد بررسی قرار گرفت و نتایج حاکی از دقت بالای این روش نسبت به روش‌های مرسوم یادگیری ماشین بودند.

متغیرهای گوناگونی در پژوهش‌های پیشین به عنوان متغیرهای موثر بر روی زمان سفر معرفی شده‌اند. اووه و همکاران [۱۶] مدل‌های پیش‌بینی زمان سفر و متغیرهای در نظر گرفته شده در آنها را مروز کردند. از جمله این متغیرها می‌توان به خصوصیات فردی راننده، مشخصات وسیله نقلیه، مشخصات معابر مانند سرعت حرکت آزاد، تعداد خطوط و شبکه، زمان تاخیر و زمان توقف تقاطعات، شرایط جوی، زمان اوج و غیراوج، روزهای خاص و مناسبت‌ها، تعداد دسترسی‌ها نام برد. ابدال و همکاران عرض راه، تعداد وسیله نقلیه سنگین عبوری در محور مورد بررسی و تعداد راننده‌گان را از مهم ترین عوامل ابشارتگی ترافیک معرفی کردند که می‌توانند در زمان سفر تاثیرگذار باشند [۱۷]. سیل^{۱۰} و همکاران هندسه راه را از موثرترین مولفه‌های سرعت رانندگی بیان کردند و با بررسی هندسه راه‌ها به پیش‌بینی سرعت رانندگی و زمان سفر پرداختند [۱۸]. در این پژوهش از روش ماشین‌شناسور جهت برداشت داده استفاده گردید و سرعت ماشین نیز علاوه بر هندسه راه در پیش‌بینی زمان سفر مورد استفاده قرار گرفت. ویلارینه‌و^{۱۱} و همکاران چراغ‌های راهنمایی و رانندگی و توقف ناشی از آن‌ها عواملی بسیار تاثیرگذار بر ترافیک بیان کردند [۱۹]. در این تحقیق، با در نظر گرفتن اطلاعات

اول روش‌های ساده و لحظه‌های ساده کننده زیادی هستند و در بسیاری از موارد این فرض‌ها برقرار نمی‌باشند. به طور مثال یکی از این فرض‌ها عدم تغییر وضعیت شلوغی شبکه تا چند دقیقه یا چند ساعت بعد است. این روش‌ها غالباً در نرم افزارهای تجاری استفاده می‌شوند. مدل‌های دسته دوم بر مبنای بررسی وضعیت ترافیک و شبیه‌سازی آن به صورت خردنگر و کلان نگر هستند. این مدل‌ها به اطلاعات جریان ترافیک و حجم عبوری نیاز دارند. مدل‌های دسته سوم زمان سفر را بر مبنای اطلاعات جمع آوری شده و ویژگی‌های معابر پیش‌بینی می‌کنند. انواع مختلفی از این دسته روش‌ها مانند رگرسیون، سری زمانی^۱، شبکه عصبی^۲، درخت تصمیم^۳ و غیره برای مدل‌سازی زمان سفر به کار گرفته شده‌اند. در دسته چهارم مدل‌هایی با ترکیب روش‌های دسته دوم و سوم زمان سفر معابر را تخمین می‌زنند [۵].

مدل‌های بر مبنای اطلاعات و روابط متغیرها به ۳ گروه پارامتریک، ناپارامتریک و نیمه پارامتریک تقسیم می‌شوند. در روش‌های پارامتریک متغیرهای موثر بر زمان سفر شناسایی شده و تابعی از زمان سفر و متغیرهای موثر تشکیل می‌شود. این مدل‌ها فهم آسانی دارند و به راحتی پیاده سازی می‌شوند لیکن ساختار ساده آنها تفسیر رفتار زمان سفر را مشکل می‌کند. از معروف‌ترین این روش‌ها می‌توان به رگرسیون خطی^۴، رویکرد بیز^۵ و سری زمانی اشاره کرد. در روش‌های ناپارامتریک ساختار مدل و متغیرها از پیش تعیین شده نمی‌باشد و شکل تابع زمان سفر از داده‌ها استخراج می‌شود. این روش‌ها به تعداد داده بیشتری نسبت به روش‌های پارامتریک نیاز دارند. روش‌های شبکه عصبی و درخت تصمیم از معروف‌ترین روش‌های ناپارامتریک می‌باشند که در پیش‌بینی زمان سفر به کار گرفته شده‌اند. روش‌های نیمه پارامتریک ترکیبی از روش‌های پارامتریک و ناپارامتریک برای مدل‌سازی استفاده می‌کنند. در این مقاله از روش‌های پارامتریک برای پیش‌بینی زمان سفر استفاده شده است [۶].

روش رگرسیون برای مدل‌سازی زمان سفر در پژوهش‌های متعددی استفاده شده است. در رگرسیون یک مدل بین متغیر وابسته با یک یا چند متغیر مستقل تعریف می‌شود. در هریک از این پژوهش‌ها متغیرهای مختلفی من جمله زمان تاخیر یا توقف تقاطع [۷]، حجم ترافیک ثبت شده [۸]، شبکه^۹، تعداد خطوط [۱۰]، داده‌های تاریخچه‌ای و ویژگی‌های فیزیکی معبر [۱۱]

6 Metaheuristic Algorithms

7 Water Cycle Algorithm (WCA)

8 Machine Learning

9 Biogeography-based Programming

10 Sil

11 Vilarinho

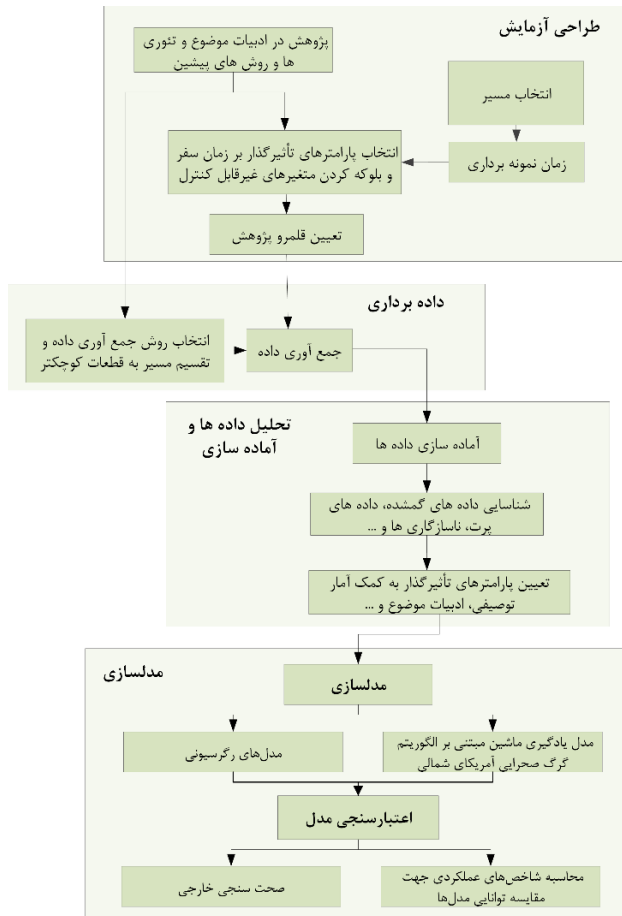
1 Time Series

2 Neural Network

3 Decision Tree

4 Linear Regression

5 Bayesian Approach



شکل ۱. روند انجام تحقیق

Fig. 1. The flowchart of the methodology

اوج به وسیله روش‌های یادگیری ماشین مبتنی بر الگوریتم گرگ صحرا ای امریکای شمالی، رگرسیون‌های خطی، نمایی، چند جمله‌ای مرتبه ۲، چند جمله‌ای مرتبه ۳ و کسری می‌باشد. به علاوه، صحت و دقیقت نتایج مدل‌های به دست آمده توسط روش‌های مذکور، به وسیله ۵ شاخص عملکردی مختلف، ارزیابی و مورد بررسی قرار گرفته‌اند.

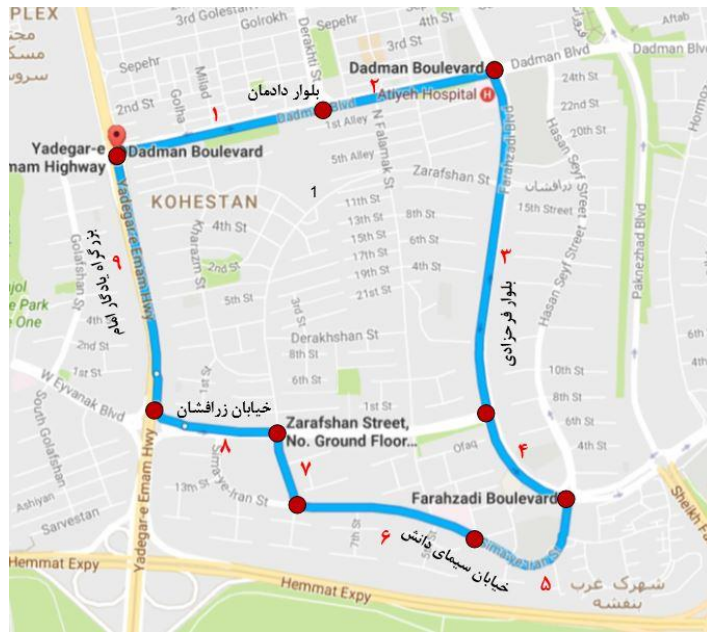
۳- روش پژوهش

در این پژوهش جهت پیش‌بینی زمان سفر در معابر شهری ابتدا اقدام به طراحی آزمایش شد. سپس جمع آوری داده در روز مشخص انجام شد. در مرحله بعد داده‌های جمع آوری شده از جهت هر گونه نقص یا خطأ مورد بررسی قرار گرفت. در نهایت مدل‌سازی زمان سفر روی داده‌های حاصله انجام و مدل به دست آمده اعتبارسنجی شد. شکل ۱ روند کلی انجام تحقیق را به صورت خلاصه نشان می‌دهد. در ادامه در بخش‌های بعدی، هر یک از

ترافیکی در مجاورت چراغ‌های راهنمایی و رانندگی، به برنامه‌ریزی زمان بندی چراغ‌های راهنمایی و رانندگی پرداختند که هدف اصلی آن‌ها کاهش تاخیر و توقف تقاطع‌ها بود. از این رو در این پژوهش، متغیرهای ذکر شده به همراه ویژگی‌های فیزیکی معتبر به عنوان متغیرهایی که می‌توانند بر روی زمان سفر مسیر اثرگذار باشند مورد بررسی قرار گرفتند که در بخش طراحی آزمایش و داده برداری به آن‌ها پرداخته خواهد شد.

با توجه به مطالب فوق، بر اساس مطالعات صورت گرفته روش‌های جدید یادگیری ماشین مبتنی بر الگوریتم‌های فراباکاری در پیش‌بینی زمان سفر معابر مورد استفاده قرار نگرفته‌اند. از این رو یک روش جدید به نام یادگیری ماشین مبتنی بر الگوریتم گرگ صحرا ای امریکای^۱ در این پژوهش معرفی گردیده و جهت پیش‌بینی زمان سفر مورد استفاده قرار گرفته است. به عبارت دیگر، هدف از این پژوهش پیش‌بینی زمان سفر معابر شهری در حالت غیر

1 Coyote Optimization Algorithm (COA)



شکل ۲. محدوده مورد مطالعه و قطعات در نظر گرفته شده

Fig. 2. The studied area and the considered sections

گیری، قطعات حداقل دارای طول ۱ کیلومتر باشند. محدوده مورد مطالعه و مقطع در نظر گرفته شده در شکل ۲ مشخص شده اند.

نمونه برداری در روز جمعه ۲۶ بهمن ۱۳۹۷ ساعت ۱۶:۳۰ آغاز شد. روز و ساعت نمونه برداری و همچنین مشاهده وضعیت خیابان در هنگام نمونه برداری، نشان میداد داده های به دست آمده مربوط به زمان غیر اوج و با توجه به تعاریف کیفی که از سطح سرویس^۱ راهها در کتاب راهنمای ظرفیت راهها^۲ موجود است می توان به صورت کیفی سطح سرویس مقاطع محدوده را بین C تا B ارزیابی کرد میباشد. همچنین برای جلوگیری از بروز خطاهای مختلف داده برداری با ۵ بار تکرار انجام شد. نمونه برداری به صورت طی مسیر با وسیله نقلیه و به کمک نرم افزار Mytacks انجام شد. این نرم افزار همزمان با طی مسیر، اطلاعات طول، عرض و ارتفاع جغرافیایی، سرعت لحظه ای و زاویه با جهت شمال جغرافیایی را ذخیره میکند. علاوه بر این زمان سفر طی شده در طول مسیر به صورت دستی نیز

بخش های ارائه شده در فلوچارت شکل ۱ تشریح شده است.

-۱- طراحی آزمایش و جمع آوری داده

به دلیل ارتباط تنگاتنگ طراحی آزمایش و جمع آوری داده به این دو گام در یک بخش پرداخته می شود. برای انجام طراحی آزمایش فاکتورهای موثر روی زمان سفر در معابر شهری به کمک مرور پژوهش های انجام گرفته و همچنین تئوری های پیشین مورد بررسی قرار گرفت. همچنین برای انتخاب مسیر، با بررسی مسیرهای مختلف با ویژگی های متفاوت یک حلقه شامل ۶ خیابان در محدوده خیابان دادمان، بلوار فرحزادی و بخش کوچکی از بزرگراه یادگار امام در غرب تهران با رده عملکردی شریانی درجه یک (بزرگراه) و درجه دو (خیابان های شریانی اصلی و فرعی) انتخاب شد. برخی معابر با توجه به تغییرات در متغیرهای فیزیکی و هندسی معبر و همچنین کتابچه NCHRP Handbook [۳] به قطعات کوچکتر تقسیم شدند. در این کتابچه راهنمایی شده است که برای جلوگیری از بروز انواع خطاهای در نمونه

1 Level of Service

2 Highway Capacity Manual (HCM)

جدول ۱. تست نرمال بودن داده‌های زمان سفر مقطع اول محدوده مطالعه توسط آزمون‌های کولمگروف اسمایرنف و شاپیرو ویلک در نرم‌افزار SPSS

Table 1. The normality test of travel time data for the first section through Kolmogorov-Smirnov and Shapiro-Wilk test

شاپیرو ویلک			کولمگروف اسمایرنف			زمان سفر
Sig.	df	Static	Sig.	df	Static	
.۰/۲۵۶	۵	.۰/۸۶۷	.۰/۲۰۰	۵	.۰/۲۴۵	

تست شد. همچنین به کمک آمار توصیفی و تست‌های بررسی نرمال بودن مانند کولمگروف اسمایرنف^۳، شاپیرو ویلک^۴ و تست ترسیم نمودار Q-Q نرمال بودن داده‌ها به طور تقریبی مورد ثوّق قرار گرفت. به طور مثال اجرای تست کولمگروف اسمایرنف و شاپیرو ویلک برای داده‌های زمان سفر مقطع اول محدوده مطالعه در جدول ۱ ارائه شده است. با توجه به بزرگتر بودن مقدار احتمال ($\text{Sig} = 0.256$) و ($\text{Sig} = 0.200$) از احتمال خطای نوع اول (0.05) فرض صفر که معتبر بودن توزیع نرمال برای داده‌ها است، رد نمی‌شود. پس از آن جهت راستی آزمایی داده‌ها، ارتباط منطقی بین پارامترهای تأثیرگذار روی زمان سفر بررسی شد. به طور مثال با افزایش زمان توقف تقاطع زمان سفر افزایش پیدا می‌کند. در نهایت توزیع آماری برای داده‌های تهیه شده برآشش شد و آماره‌های هر توزیع تعیین شدند و از نتایج این قسمت برای تعیین پارامتر تأثیرگذار و پیش‌بینی زمان سفر استفاده می‌شود.

۲-۳- تعیین متغیرهای تأثیرگذار

برای تشخیص متغیرهای موثر در مدل، از روش گام به گام^۵ یعنی اضافه کردن یک به یک متغیرها و بررسی خوبی برآشش با استفاده از پارامتر ضریب تعیین (R^2) و اهمیت متغیرها و سایر ویژگی‌های مدل استفاده شده است. همچنین از مدل رگرسیون خطی مدل یک متغیره با متغیر مستقل زمان توقف تقاطع R^2 برابر 0.395 نتیجه میدهد. با اضافه کردن تعداد خطوط به زمان توقف تقاطع مدلی ۲ متغیره با R^2 برابر 0.537 حاصل می‌شود. مدل ۳ متغیره با متغیرهای زمان توقف تقاطع، تعداد خطوط و شیب مدل رگرسیون

ذخیره شد. همچنین نوع حرکت و نحوه رانندگی وسیله نقلیه با توجه به نکات وجود در کتابچه NCHRP Handbook [۳] به صورت ماشین شناور^۶ انتخاب شد. در حالت ماشین شناور تعداد وسایل نقلیه ای که از ماشین در حال نمونه برداری عبور می‌کنند برابر تعداد وسایل نقلیه عبور شده می‌باشد. در نهایت اطلاعات متغیرهای زمان سفر، زمان توقف تقاطع، تعداد خط، تعداد دسترسی، وجود یا عدم وجود پارکینگ حاشیه‌ای، کاربری، شیب، تعداد سرعتگاه، سرعت لحظه‌ای و طول معبّر در هنگام نمونه برداری ثبت شد. لازم به ذکر است زمان توقف تقاطع مطابق تعریف کتاب راهنمای طرفیت راهها برابر زمان انتظار برای وسیله نقلیه است که سرعت آن صفر باشد [۲۰]. با توجه به طراحی آزمایش و نمونه برداری انجام شده قلمرو این تحقیق شناسایی عوامل موثر بر زمان سفر معاابر شهری و توسعه مدل مناسبی برای پیش‌بینی زمان سفر آنها است. در این خصوص قلمرو این تحقیق صرفاً به ساعت‌های غیر اوج و شرایط معمول آب و هوایی (هوای آفتتابی) محدود می‌شود. همچنین طول معاابر مورد پیش‌بینی با توجه به دستور العمل‌های قطعه بندی و سایر متغیرهای مسیر می‌باشد. زیرا در طول‌های بالاتر ممکن است رفتار رانندگی استفاده کنندگان تغییر یابد.

۲-۴- آماده سازی داده

قبل از تحلیل آماری اطلاعات، لازم است آماده‌سازی داده‌ها صورت گیرد. با یک تحلیل اولیه مانند کشیدن نمودار جعبه‌ای^۷، داده‌های پرت^۸ حذف می‌شوند. داده‌های گمشده^۹ بررسی شد و ۲ مورد پیدا شده به دلیل کم اهمیت بودن حذف شد. عدم حضور ناسازگاری بین داده‌ها تحلیل و

1 Floating Car

2 Box Plot

3 Outlier

4 Missing Value

5 Kolmogorov-Smirnov

6 Shapiro-Wilk

7 Stepwise

طبقه بندی شدن. به عبارت دیگر ۷۵٪ داده‌ها به عنوان داده‌های آموزشی^۴ در نظر گرفته شدن و روابط زمان سفر بر اساس متغیرهای تاثیرگذار توسعه این داده‌ها تولید گردید. سپس، ۲۵٪ باقی‌مانده داده‌ها (داده‌های آزمایشی^۵) در روابط تولید شده قرار داده شدند تا قدرت مدل‌ها جهت پیش‌بینی داده‌های دیده نشده سنجیده شود. در ادامه روش‌های به کار گرفته شده در این پژوهش توضیح داده می‌شوند.

۱-۲-۱- مدل یادگیری ماشین مبتنی بر الگوریتم گرگ صحراوی آمریکای شمالی

الگوریتم گرگ خاکستری (COA) یک الگوریتم فرا ابتکاری جدید می‌باشد که از تجارت تعاملی و رفتار اجتماعی گرگ خاکستری آمریکای شمالی الهام گرفته شده است. این الگوریتم یک روش توانمند جهت یافتن جواب‌های دقیق مسایل بهینه سازی می‌باشد و در سال ۲۰۱۸ میلادی توسعه پیززن و کوالهه^[۲۱] معرفی گردید. در این الگوریتم، گرگ‌ها و رفتار اجتماعی آن‌ها به ترتیب به بردارهای جواب و برآzendگی جواب‌ها نسبت داده می‌شوند. ابتداء، گرگ‌ها (بردارهای جواب) به دسته‌های مختلف تقسیم می‌شوند. در هر گروه، با ارزش‌ترین بردار جواب (از لحاظ مقدار تابع هدف مسئله بهینه سازی) گرگ آلفا نامیده می‌شود. در هر گروه، گرگ‌ها با یکدیگر تعامل داشته و فرهنگ آن‌ها از یکدیگر و به خصوص گرگ آلفا تاثیر می‌پذیرد. به عبارت دیگر هر بردار جواب با برداری به سمت سایر هم گروهی‌ها و با ارزش‌ترین بردار جواب انتقال داده می‌شود. جهت عدم توقف در جواب‌های کمینه موضعی، برخی از گرگ‌ها بین گروه‌های مختلف با یکدیگر جا به جا می‌شوند و این پدیده سبب پوشش فضای بیشتری از ناحیه شدنی مسئله می‌شود. همچنین، در هر تکرار الگوریتم، ضعیفترین گرگ‌ها (ضعیفترین بردارهای جواب از لحاظ مقدار تابع هدف مسئله بهینه‌سازی) از جامعه از بین رفته و جمعیت جدید جایگزین آن‌ها می‌شوند. این پدیده با ایجاد جهش سبب از بین رفتن بردار جواب‌های ضعیف تر و ارتقاء مدل می‌شود.

در این پژوهش، با استفاده از الگوریتم مذکور یک روش جدید یادگیری ماشین معرفی شده است. در روش مدل‌سازی مبتنی بر الگوریتم گرگ خاکستری، هر ورودی مدل (پارامترهای موثر بر زمان سفر) به عنوان یک متغیر تصمیم عدد صحیح در نظر گرفته شد که این متغیرهای تصمیم می‌توانند از بین ۲۰ حالت انتخابی یک تابع را انتخاب نمایند. به عبارت دیگر هر یک از پارامترهای زمان توقف تقاطع، تعداد خطوط و شبیه باید به

با R^2 برابر ۶۵٪ نتیجه می‌دهد. لازم به ذکر است در تمامی ۳ مدل ذکر شده متغیرها در تست T دارای اهمیت و معنی دار می‌باشند و همچنین واریانس ها در تست F دارای تفاوت معنی دار می‌باشند.

با اضافه کردن متغیرهای دیگر مدل بهتری از مدل ذکر شده که در تمامی فرض‌ها و شروط رگرسیون صادق باشد، به دست نمی‌آید. به طور مثال با اضافه شدن تعداد سرعت کاه R^2 مدل کاهش یافته و همچنین متغیر سرعت کاه در تست T معنی دار نمی‌باشد. همچنین با اضافه کردن تعداد دسترسی‌ها توزیع باقیمانده‌ها از توزیع نرمال پیروی نمی‌کرد و لذا مدل قابل قبول نبود.

به علاوه، به دلیل گسسته بودن متغیر تعداد خطوط و گزینه‌های محدود آن (۲، ۳ و ۴ خط) اقدام به ساخت مدل با متغیر دامی^۱ تعداد خطوط به همراه متغیرهای زمان توقف تقاطع و شبیه شد، لیکن پس از ساخت مدل مشاهده شد علی رغم بالا رفتن R^2 به میزان اندکی (از ۰/۶۷ به ۰/۶۵)، تابع توزیع باقیمانده‌های حاصل از این مدل از توزیع نرمال تبعیت نکرده و در تست کولمگروف اسمیرنف رد می‌شوند و لذا این شرط رگرسیون خطی رعایت نمی‌شود.

۱-۲-۴- مدل‌سازی

مدل‌سازی پیش‌بینی زمان سفر از طریق روش یادگیری ماشین مبتنی بر الگوریتم گرگ صحراوی آمریکای شمالی و ۵ مدل رگرسیونی شامل رگرسیون‌های خطی، نمایی، چند جمله‌ای مرتبه ۲، چند جمله‌ای مرتبه ۳ و کسری انجام شده است. روش رگرسیون در نرم افزار SPSS^۲ مدل شده است. همچنین مدل‌سازی روش یادگیری ماشین مبتنی بر الگوریتم گرگ صحراوی آمریکای شمالی در نرم افزار MATLAB^۳ انجام گرفته است. نکته حائز اهمیت در این روش‌ها این است که به دلیل این که مقاطع مطالعه شده دارای طول‌های مختلفی می‌باشند و هدف ارائه مدلی واحد برای تمامی معابر می‌باشد، دو متغیر زمان سفر به عنوان متغیر وابسته و زمان توقف تقاطع به عنوان یکی از متغیرهای مستقل که دارای واحد ثانیه می‌باشند به طول هر مقطع تقسیم شده و مدل ارائه شده به ازای زمان در واحد طول می‌باشد (ثانیه در هر کیلومتر).

جهت ساختن مدل‌های پیش‌بینی پس از تعیین متغیرهای تاثیرگذار، داده‌ها به صورت تصادفی به دو دسته داده‌های آموزشی و داده‌های آزمایشی

1 Dummy Variable

2 Statistical Package for Social Sciences (SPSS)

3 MATrix LABoratory (MATLAB)

۳- بیان و تحلیل نتایج

در این بخش نتایج مدلهای ساخته شده ارائه و تحلیل می‌شوند. به طور کلی با وجود ۹ مقطع و ۵ تکرار انجام شده، ۴۵ ردیف داده برای مدل‌سازی به کار گرفته شد. همانطور که در بخش ۴-۳ مطرح شد، داده‌ها به دو دسته داده‌های آموزشی و داده‌های آزمایشی طبقه‌بندی گردیدند. مدل‌ها با داده‌های آموزشی ساخته شده و سپس توانایی پیش‌بینی آن‌ها با داده‌های آزمایشی مورد ارزیابی قرار گرفت. پیش از ارائه مدل‌ها نحوه اعتبارسنجی و شاخص‌های عملکردی مورد استفاده معرفی می‌شوند.

۳-۱- شاخص‌های عملکردی مورد استفاده برای اعتبارسنجی مدل‌ها
جهت مقایسه توانایی مدل‌ها و بررسی دقیق جواب‌های حاصله از شاخص‌های عملکردی میانگین خطای حقیقی^۲ (MAE)، خطای جذر میانگین مربعات^۳ (RMSE)، میانگین درصد قدرمطلق خطای^۴ (MAPE) ضریب تعیین (R^۲) و درصد داده‌ای که خطای آن‌ها کمتر از ۲۰ ثانیه می‌باشد (E_{20s}) استفاده گردید. روابط شاخص‌های عملکردی مذکور به ترتیب در روابط (۱) تا (۵) ارائه شده است.

$$MAE = \frac{\sum_{i=1}^n |EXP_i - PRE_i|}{n} \quad (1)$$

$$RMSE = \sqrt{\frac{\sum_{i=1}^n (EXP_i - PRE_i)^2}{n}} \quad (2)$$

$$MAPE = \frac{100}{n} \times \sum_{i=1}^n \left| \frac{EXP_i - PRE_i}{EXP_i} \right| \quad (3)$$

$$R^2 = \left(\frac{\sum_{i=1}^n (EXP_i - \overline{EXP}) \times (PRE_i - \overline{PRE})}{\sqrt{\sum_{i=1}^n (EXP_i - \overline{EXP})^2} \times \sqrt{\sum_{i=1}^n (PRE_i - \overline{PRE})^2}} \right)^2 \quad (4)$$

$$E_{20s} = \frac{(\text{number of data which their error is fewer than } 20s) \times 100}{n} \quad (5)$$

2 Mean Absolute Error (MAE)

3 Root Mean Square Error (RMSE)

4 Mean Absolute Percentage Error (MAPE)

یکتابع تخصیص داده شوند که توابع مذکور شامل ۲۰تابع مختلف مثلثاتی (سینوسی، کوسینوسی، تانژانتی، کوتانژانتی)، نمایی، توانی با فرجه‌های مختلف، لگاریتمی با فرجه‌های مختلف و رادیکالی با ریشه‌های مختلف می‌باشند. همچنین ۸متغیر تصمیم جهت یافتن ضرایب ثابت رابطه در نظر گرفته شد. در نهایت ۴۰۰تابع هدف مختلف جهت تجمعی متغیرهای تصمیم و ضرایب ثابت لحاظ شد و با در نظر گرفتن میانگین خطای حقیقی به عنوان تابع هدف، مسئله بهینه سازی حل گردید که هدف مسئله مذکور کمینه کردن میانگین خطای بر اساس یافتن مقادیر بهینه برای متغیر تصمیم می‌باشد. لازم به ذکر است این الگوریتم ۱۰ بار اجرا گردید و از بین جواب یافته شده، جوابی که دارای کمترین مقدار خطای بود تحت عنوان جواب الگوریتم گرگ خاکستری آمریکای شمالی ارائه می‌گردد. مبنای این روش یافتن رابطه‌ای می‌باشد که بر اساس آن مقادیر پیش‌بینی شده و مقادیر حقیقی بیشترین تطابق را داشته باشد و از این رو تابع هدف مسئله (میانگین خطای حقیقی) به کمترین میزان ممکن خود می‌رسد.

۴-۲- مدل‌های رگرسیونی

رگرسیون یک تکنیک شناخته شده و مرسوم در یادگیری ماشین و داده کاوی^۱ است که در آن پیش‌بینی مقدار یک متغیر وابسته بر اساس مقادیر یک یا چند متغیر مستقل صورت می‌پذیرد. روش‌های متنوعی برای برآورد خط یا منحنی روی داده‌ها وجود دارد که به وسیله مدل‌های مختلف رگرسیونی انجام می‌گیرند. در این پژوهش همانطور که پیشتر بیان شد، ۵ مدل رگرسیونی شامل رگرسیون‌های خطی، نمایی، چند جمله‌ای مرتبه ۲، چند جمله‌ای مرتبه ۳ و کسری به جهت مدل‌سازی داده‌ها استفاده شده است. در رگرسیون خطی رابطه بین متغیر وابسته و متغیرهای مستقل، یک رابطه خطی می‌باشد. رگرسیون غیر خطی که سایر مدل‌های رگرسیونی استفاده شده در این پژوهش به جز رگرسیون خطی در این دسته قرار می‌گیرند، به مدل‌هایی گفته می‌شود که برای تطبیق توابع غیر خطی بر روی داده‌های گردآوری شده به کار گرفته می‌شود. به طور مثال در رگرسیون نمایی سعی می‌شود بهترین مدل بر اساس توابع نمایی متغیرهای مستقل و ضرایب آن‌ها یافت شود. لازم به ذکر است تمامی مدل‌ها پس از ساخت نیاز به اعتبارسنجی و بررسی میزان دقیق و صحیح مدل معرفی شده دارند.

$$FR-Time(s / km) = (-92.8259 \times \frac{StopDelay}{Lane \times Grade}) + 59.9815 \quad (11)$$

که در روابط فوق Lane و StopDelay به ترتیب زمان توقف تقاطع، تعداد خطوط و شیب می‌باشند.

۳-۳- دقت مدل‌های پیش‌بینی زمان سفر
 پس از یافتن روابط ارائه شده با استفاده از داده‌های آموزشی، داده‌های دیده نشده (داده‌های آزمایشی) در روابط قرار گرفته و نتایج پیش‌بینی شده با مقادیر حقیقی داده مقایسه شدند و دقت مدل‌ها توسط شاخص‌های عملکردی که در بخش قبل ارائه شدند، مورد بررسی قرار گرفتند.
 دقت مدل‌های یادگیری ماشین بر اساس میانگین خطای حقیقی به تفکیک داده‌های آموزشی و آزمایشی در شکل ۳ ارائه شده است. با توجه به نتایج این شکل، کمترین مقدار میانگین خطای حقیقی در هر درسته داده‌های آموزشی و آزمایشی متعلق به الگوریتم گرگ خاکستری آمریکای شمالی می‌باشد. مقدار میانگین خطای حقیقی الگوریتم گرگ خاکستری آمریکای شمالی برای داده‌های آموزشی و آزمایشی به ترتیب برابر $10/1$ و $27/4$ ثانیه می‌باشد. در بین مدل‌های رگرسیونی، کمترین مقدار میانگین خطای حقیقی برای داده‌های آموزشی مربوط به رگرسیون خطی با مقدار $12/2$ و کمترین مقدار میانگین خطای حقیقی برای داده‌های آزمایشی مرتبط با رگرسیون مرتبه سه است. در نتیجه، بر اساس مقادیر میانگین خطای حقیقی، عملکرد الگوریتم گرگ خاکستری آمریکای شمالی بهتر از روش‌های رگرسیونی مرسوم می‌باشد. اگرچه، عملکرد رگرسیون خطی و رگرسیون مرتبه سه در مقایسه با سایر مدل‌های رگرسیونی قابل قبول به نظر می‌رسد.
 خطای جذر میانگین مربعات مدل‌های ارائه شده در شکل ۴ نشان داده شده است. بر اساس نتایج این شاخص عملکردی، بیشترین دقت متعلق به الگوریتم گرگ خاکستری می‌باشد. در داده‌های آزمایشی کمترین مقدار میانگین خطای حقیقی به ترتیب مرتبط به الگوریتم گرگ خاکستری، رگرسیون خطی، رگرسیون مرتبه دو، رگرسیون مرتبه سه، رگرسیون نمایی و رگرسیون کسری با مقادیر $29/1$ ، $23/9$ ، $16/6$ ، $15/2$ ، $17/1$ ، $19/2$ و $29/1$ ثانیه است. از این‌رو، دقت الگوریتم گرگ خاکستری در پیش‌بینی زمان سفر بهتر از روش‌های رگرسیونی مرسوم به نظر می‌رسد.

که در روابط فوق $\overline{PRE_i}$ ، $\overline{PXE_i}$ و $\overline{EXP_i}$ به ترتیب مقادیر داده‌های حقیقی، میانگین مقادیر داده‌های حقیقی، مقادیر پیش‌بینی شده توسط مدل‌های مختلف، میانگین مقادیر پیش‌بینی شده توسط مدل‌ها و تعداد داده‌های استفاده شده در مدل (تعداد داده‌های آموزشی) می‌باشند.

علاوه بر شاخص‌های عملکردی مذکور که به عنوان شاخص‌های مرسوم برای صحبت سنجی و ارزیابی دقت نتایج به کار می‌رود، در بخش ۴-۴ یک رویکرد دیگر که تحت عنوان صحبت سنجی خارجی^۱ توسط پژوهشگران این حوزه معرفی شده است به جهت تکمیل بررسی صحبت مدل‌های معرفی شده به کار گرفته می‌شود.

۳-۲- شاخص‌های عملکردی مورد استفاده برای اعتبارسنجی مدل‌ها
 در این بخش، روابط ارائه شده جهت پیش‌بینی زمان سفر توسط پارامترهای تاثیرگذار که مدل‌های یادگیری ماشین تولید کرده‌اند، ارائه می‌شود. در روابط (۶) تا (۱۱) به ترتیب روابط ارائه شده توسط الگوریتم گرگ خاکستری آمریکای شمالی (COA)، رگرسیون خطی، رگرسیون نمایی (ER)، رگرسیون مرتبه دو (2R)، رگرسیون مرتبه سه (3R) و رگرسیون کسری ارائه شده‌اند.

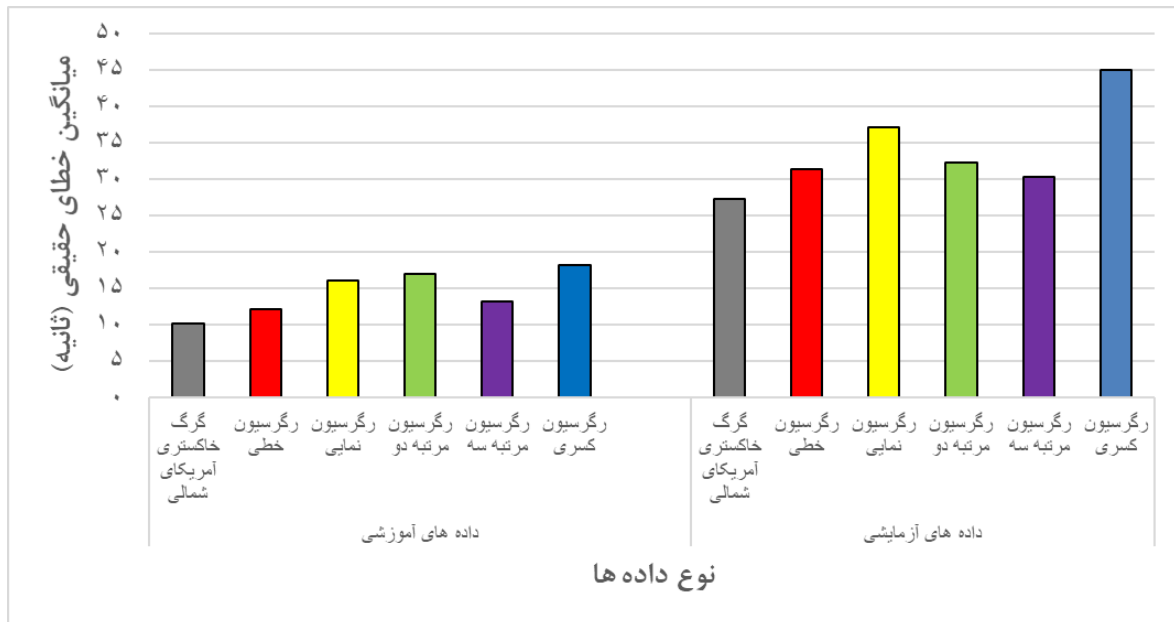
$$COA-Time(s / km) = (0.7 \times \sqrt[3]{3} \times StopDelay)^2 + (0.7 \times \sqrt{6} \times \sqrt{Lane})^2 + (0.8 \times Grade^2)^2 + (0.7 \times \sqrt[3]{3} \times StopDelay)^3 + (0.7 \times \sqrt{6} \times \sqrt{Lane})^3 + (0.8 \times Grade^2)^3 + 3.587401 \quad (6)$$

$$LR-Time(s / km) = (1.3688 \times StopDelay) + (10.1461 \times Lane) + (14.3076 \times Grade) + 13.3413 \quad (7)$$

$$ER-Time(s / km) = (0.0001 \times \exp(StopDelay)) + (0.4291 \times \exp(Lane)) + (4.9904 \times \exp(Grade)) + 34.0197 \quad (8)$$

$$2R-Time(s / km) = (0.0598 \times StopDelay^2) + (1.8666 \times Lane^2) + (8.7428 \times Grade^2) + 24.7024 \quad (9)$$

$$3R-Time(s / km) = (0.0005 \times StopDelay^3) + (0.2976 \times Lane^3) + (4.1589 \times Grade^3) + 38.4088 \quad (10)$$



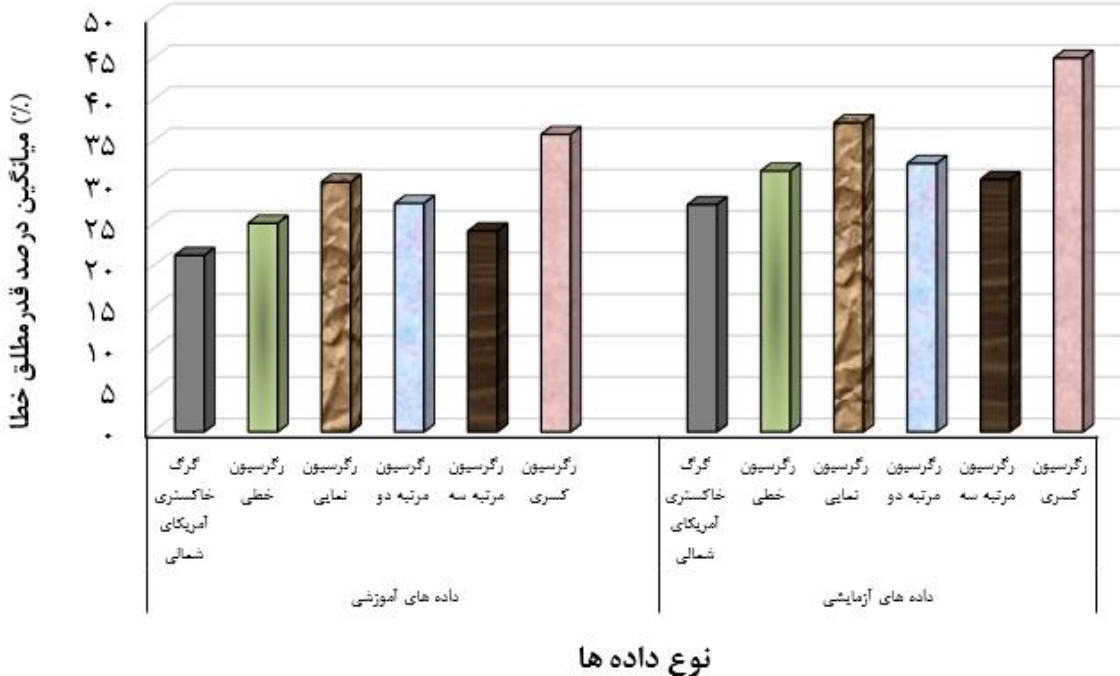
شکل ۳. میانگین خطای حقیقی مدل های پیش بینی زمان سفر

Fig. 3. The mean absolute error of prediction models



شکل ۴. خطای جذر میانگین مربعات مدل های یادگیری ماشین

Fig. 4. The root mean square error of the machine learning models



شکل ۵. دقت مدل‌های پیش‌بینی بر اساس میانگین درصد قدر مطلق خطای
Fig. 5. The mean absolute percentage error of prediction models

است. با توجه به نتایج این شاخص عملکردی، در داده‌های آموزشی فقط مدل‌های گرگ خاکستری آمریکای شمالی و رگرسیون خطی مقادیری بیش از ۷٪ را دارا می‌باشند و در مرحله تولید مدل دارای دقت بیشتری نسبت به سایر روش‌ها هستند. با بررسی داده‌های آزمایشی مشخص می‌گردد که تنها ضریب تعیین الگوریتم گرگ خاکستری آمریکای شمالی بالای ۷٪ به دست آمده است. در حالی که مقدار این شاخص برای تمامی مدل‌های رگرسیونی کوچک‌تر یا مساوی ۶٪ می‌باشد. ضریب تعیین الگوریتم گرگ خاکستری آمریکای شمالی برای داده‌های آموزشی و آزمایشی به ترتیب برابر ۰/۷۴۶ و ۰/۷۲۵ است. از این رو می‌توان استدلال کرد که روش معروفی شده در این پژوهش بسیار دقیق‌تر از مدل‌های رگرسیونی بوده و همچنین می‌تواند برای پیش‌بینی زمان سفر که هدف اصلی این پژوهش است، نتایجی با دقت بالا ارائه کند.

نتایج دقت مدل‌های به دست آمده بر اساس میانگین درصد قدر مطلق خطای در شکل ۵ نمایش داده شده‌اند. مطابق این شاخص عملکردی هم در داده‌های آموزشی و هم در داده‌های آزمایشی عملکرد الگوریتم گرگ خاکستری آمریکای شمالی به مراتب از سایر روش‌ها بهتر می‌باشد. در داده‌های دیده نشده (آزمایشی)، الگوریتم گرگ خاکستری آمریکای شمالی تنها روشی است که میانگین درصد قدر مطلق خطای آن کمتر از ۳۰٪ می‌باشد. در حالی که این شاخص برای تمامی مدل‌های رگرسیونی بالای ۳۰٪ است. میانگین درصد قدر مطلق خطای الگوریتم گرگ خاکستری آمریکای شمالی برای داده‌های آزمایشی و آموزشی به ترتیب ۲۱/۲ و ۲۷/۴ درصد به دست آمده است. در بین مدل‌های رگرسیونی نیز، بیشترین دقت متعلق به رگرسیون مرتبه سه و رگرسیون خطی می‌باشد. ضریب تعیین روش‌های پیش‌بینی زمان سفر در شکل ۶ ارائه شده

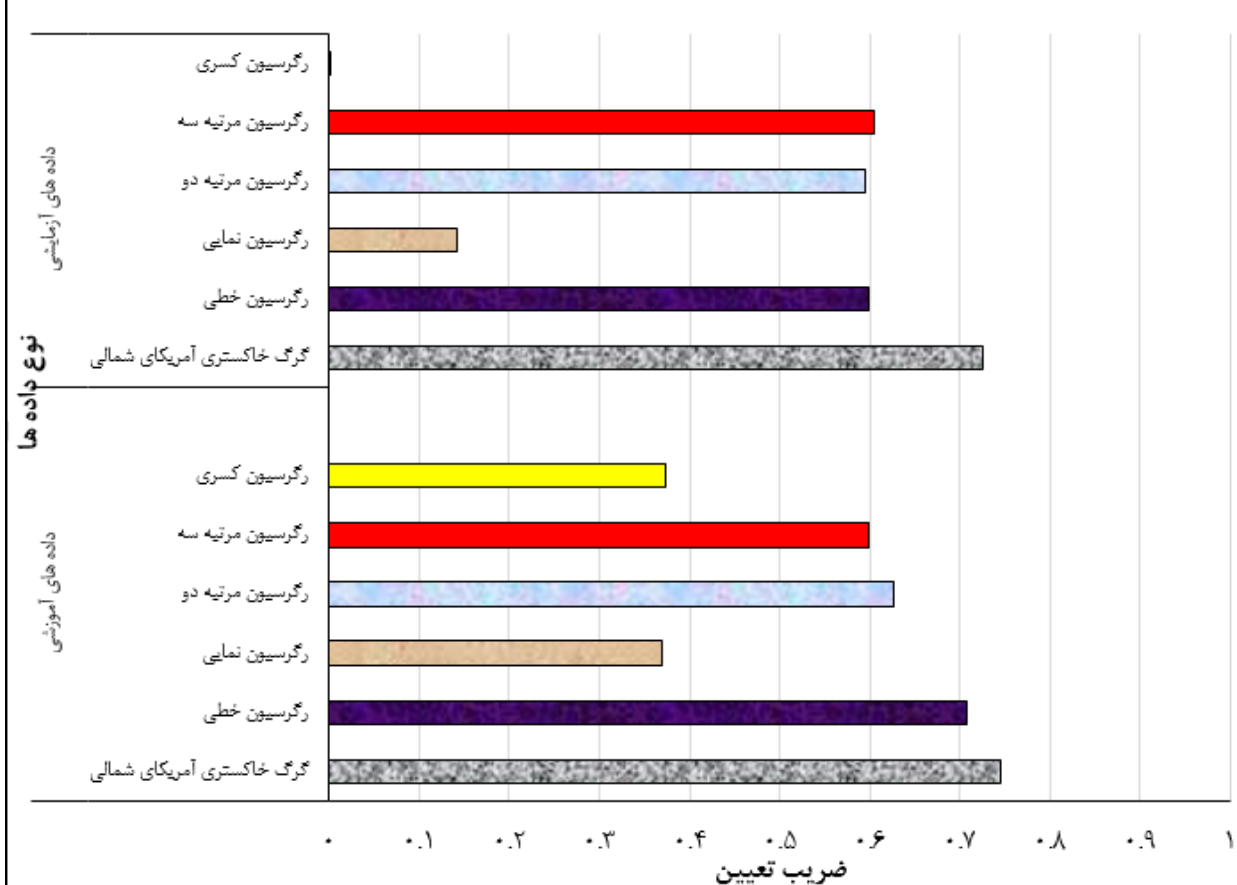
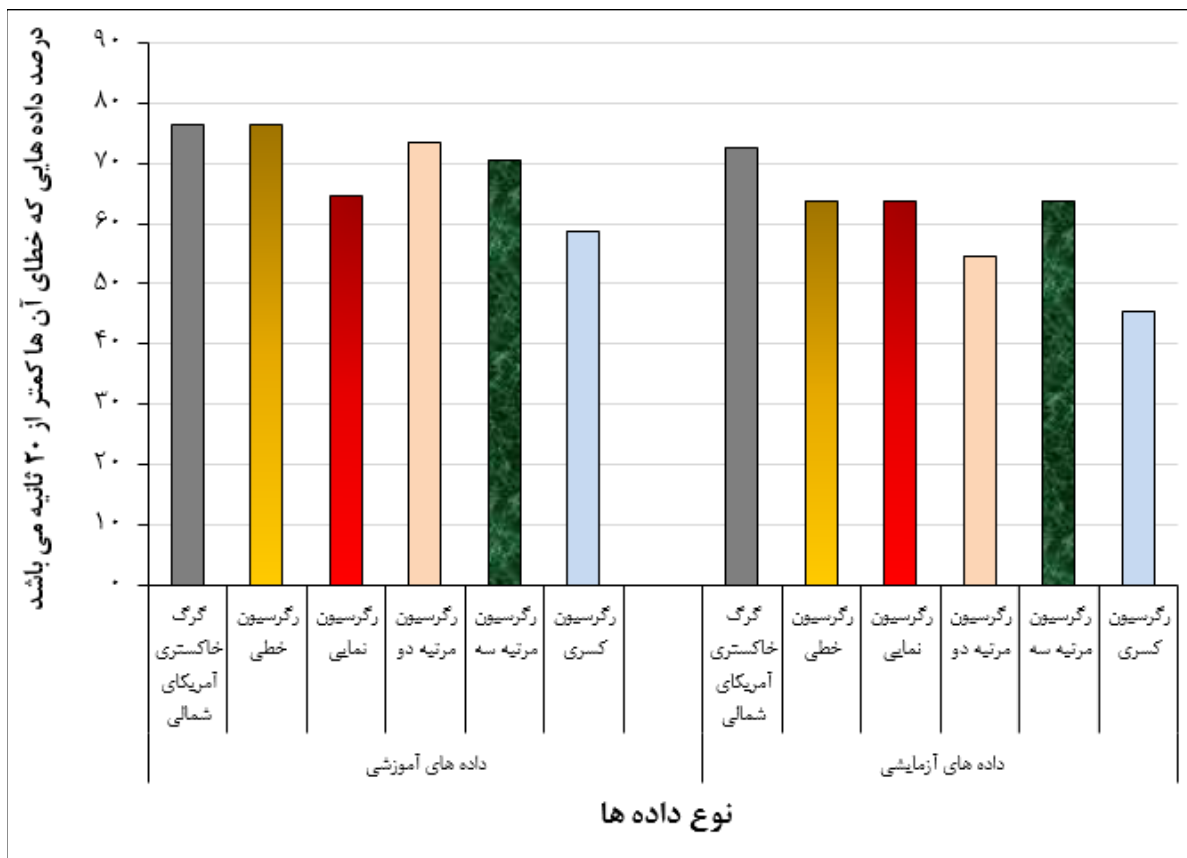


Fig. 6. The accuracy of the prediction models concerning the coefficient of determination



شکل ۷. درصد داده هایی که خطای آن ها کمتر از ۲۰ ثانیه می باشد

Fig. 7. The percentage of data which their error is fewer than 20 seconds

عبارت دیگر، الگوریتم گرگ خاکستری آمریکای شمالی در ۷۲/۷٪ موقع زمان سفر را با خطای کمتر از ۲۰ ثانیه پیش بینی می کند. بنابراین، نتایج این شاخص عملکردی مطابق نتایج سایر شاخص های عملکردی بوده و الگوریتم گرگ خاکستری آمریکای شمالی به نسبت سایر روش ها به مرتبه بهتری از خود نشان داده است.

۴-۳- صحبت سنجی خارجی

گلبریخ و تروپشا [۲۲] بیان کردند که صحبت سنجی خارجی در مدل های پیش بینی امری ضروری است. زیرا در نظر گرفتن شاخص های عملکردی به تهیابی عموما نمی تواند به طور کامل نشان دهنده صحیح بودن مدل باشد. از این رو، هنگامی مقادیر شاخص های عملکردی معتبر هستند که اعتبار مدل پیش بینی توسط صحبت سنجی خارجی مورد پذیرش قرار گیرد.

در این تحقیق یک شاخص عملکردی جدید تحت عنوان درصد داده هایی که خطای آن ها کمتر از ۲۰ ثانیه می باشد (E_{20S}) معرفی گردید. این شاخص جدید در رابطه (۵) ارائه شده است. نتایج درصد داده هایی که خطای آن ها کمتر از ۲۰ ثانیه است برای مدل های پیش بینی محاسبه شده و در شکل ۷ قابل مشاهده می باشد. بر اساس مقادیر این شاخص عملکردی، بیشترین دقت برای داده های آموزشی مرتبط به الگوریتم های گرگ خاکستری آمریکای شمالی و رگرسیون خطی است و درصد داده هایی که خطای آن ها کمتر از ۲۰ ثانیه می باشد برای داده های آموزشی در این دو روش ۷۴/۵٪ به دست آمده است. در داده های آزمایشی، الگوریتم گرگ خاکستری آمریکای شمالی دارای بیشترین دقت بوده و درصد داده هایی که خطای آن ها کمتر از ۲۰ ثانیه است، برای این روش ۷۲/۷٪ می باشد. به

جدول ۲. مقادیر پارامترهای شبیه خط رگرسیون (k' و k)، شاخصهای عملکرد (n و m)

Table 2. The value of the regression slope parameters (k', k) and the performance indicators (m, n)

n	m	k'	k	نوع داده ها	روش
-۰/۳۳۸	-۰/۳۳۲	۰/۹۸۴	۰/۹۷۵	داده های آموزشی	رگرسیون خطی
-۰/۳۵۴	-۰/۳۸۰	۰/۹۴۶	۱/۰۰۰	داده های آزمایشی	
-۰/۳۹۵	-۰/۴۱۴	۰/۹۵۳	۱/۰۰۰	داده های آموزشی	
-۰/۶۰۲	-۰/۶۶۸	۰/۹۲۰	۰/۹۸۷	داده های آزمایشی	
-۱/۵۴۱	-۰/۷۱۳	۰/۸۹۹	۱/۰۰۰	داده های آموزشی	رگرسیون نمایی
-۵/۲۱۳	-۰/۹۶۸	۰/۸۶۷	۰/۹۸۷	داده های آزمایشی	
-۰/۳۶۴	-۰/۳۰۵	۱/۱۵۲	۰/۷۸۶	داده های آموزشی	
۰/۹۹۹	-۰/۲۳۷	۱/۰۰۷	۰/۷۷۵	داده های آزمایشی	
-۰/۶۲۹	-۰/۶۷۲	۰/۹۳۶	۱/۰۰۰	داده های آموزشی	رگرسیون مرتبه دو
-۰/۴۸۵	-۰/۶۴۱	۰/۸۷۵	۰/۹۸۶	داده های آزمایشی	
-۱/۵۱۵	-۱/۶۸۳	۰/۹۰۰	۱/۰۰۰	داده های آموزشی	
-۹۲۵/۶۴۴	-۱۳۶/۱۴۵	۰/۷۸۱	۰/۹۸۶	داده های آزمایشی	

در جدول ۲ ارائه شده‌اند. بر اساس نتایج این جدول، نتایج حاصل از رگرسیون مرتبه دو و رگرسیون کسری قابل اعتماد نیستند. اما نتایج الگوریتم گرگ خاکستری آمریکای شمالی، رگرسیون خطی، رگرسیون نمایی و رگرسیون مرتبه سه قابل اعتماد می‌باشند. از این رو روش معروف شده در این تحقیق (الگوریتم گرگ خاکستری آمریکای شمالی) صحت سنجی گردید.

۴- نتیجه گیری

اطلاعات زمان سفر شبکه حمل و نقل کاربردهای متنوعی در سطوح مختلف شامل استفاده کنندگان از شبکه، تصمیم گیران خرد و تصمیم گیران کلان شبکه دارد. لذا یک مدل زمان سفر با دقت بالا می‌تواند استفاده گسترده‌ای در زمینه مدیریت ترافیک و برنامه ریزی سفر داشته باشد. در این پژوهش با طراحی یک آزمایش و داده برداری در معابر منتخب، پارامترهای تأثیرگذار بر زمان سفر معابر شهری در زمان غیر اوج تعیین شدند. پس از آماده سازی داده‌ها پارامترهای موثر بر زمان سفر مورد بررسی قرار گرفتند

پارامترهای صحت سنجی خارجی بر مبنای بازه‌های قابل قبول ارزیابی می‌شوند. به عبارت دیگر، اگر پارامترهای صحت سنجی خارجی در بازه قابل قبول قرار گیرند نتایج روش یادگیری ماشین قابل اعتماد بوده و در غیر این صورت نتایج روش مورد استفاده حتی در صورت دارا بودن مقادیر قابل قبول شاخص‌های عملکردی مورد استفاده در بخش قبل قابل اعتماد نمی‌باشند.

لذا جهت صحت سنجی مدل علاوه بر شاخص‌های عملکردی که در بخش پیشین به تفصیل مورد بررسی قرار گرفتند، از پارامترهای شبیه خط رگرسیون (k' و k) و شاخص‌های عملکرد (n و m) استفاده شد. مقادیر این شاخص‌ها مطابق دستور العمل‌های ارائه شده توسط گلبریخ و تروپشا [۲۲] و تروپشا و همکاران [۲۳] محاسبه گردید. بر اساس جزئیات ارائه شده در این پژوهش‌ها، بازه مناسب برای پارامترهای شبیه خط رگرسیون از ۰/۸۵ تا ۰/۱۵ معرفی شده است. همچنین مقدار مناسب برای شاخص‌های عملکرد (n و m) مقادیر کمتر از ۱/۰ است. مقادیر پارامترهای شبیه خط رگرسیون (k' و k) و شاخص‌های عملکرد (n و m) برای مدل‌های پیش‌بینی زمان سفر

Federal Highway Administration, 1998.

- [4] E. Jenelius, H.N. Koutsopoulos, Urban network travel time prediction based on a probabilistic principal component analysis model of probe data, *IEEE Transactions on Intelligent Transportation Systems*, 19(2) (2017) 436-445.
- [5] C.I. Van Hinsbergen, F. Sanders, Short term traffic prediction models, in: 14th World Congress on International Transport Systrms, 2007, pp. A-X.
- [6] J. Van Lint, Reliable travel time prediction for freeways, Netherlands TRAIL Research School, 2004.
- [7] F. Zheng, H. Van Zuylen, X. Liu, A methodological framework of travel time distribution estimation for urban signalized arterial roads, *Transportation science*, 51(3) (2017) 893-917.
- [8] D. Nikovski, N. Nishiuma, Y. Goto, H. Kumazawa, Univariate short-term prediction of road travel times, in: Proceedings. 2005 IEEE Intelligent Transportation Systems, 2005., IEEE, 2005, pp. 1074-1079.
- [9] Y. Chen, H.J. Van Zuylen, Y. Qipeng, Travel time prediction on urban networks based on combining rough set with support vector machine, in: 2010 International Conference on Logistics Systems and Intelligent Management (ICLSIM), IEEE, 2010, pp. 586-589.
- [10] H.-E. Lin, R. Zito, M. Taylor, A review of travel-time prediction in transport and logistics, in: Proceedings of the Eastern Asia Society for transportation studies, Bangkok, Thailand, 2005, pp. 1433-1448.
- [11] L. Du, S. Peeta, Y.H. Kim, An adaptive information fusion model to predict the short-term link travel time distribution in dynamic traffic networks, *Transportation Research Part B: Methodological*, 46(1) (2012) 235-252.
- [12] J. Kwon, B. Coifman, P. Bickel, Day-to-day travel-time trends and travel-time prediction from loop-detector data, *Transportation Research Record*, 1717(1) (2000) 120-129.
- [13] M. Yildirimoglu, K. Ozbay, Comparative evaluation of probe-based travel time prediction techniques under varying traffic conditions, 2012.

و در نتیجه، متغیرهای زمان توقف تقاطع، تعداد خطوط و شب به عنوان متغیرهای تاثیرگذار شناسایی شدند.

در این پژوهش جهت پیش بینی زمان سفر، یک روش یادگیری ماشین جدید به نام مدل یادگیری ماشین مبتنی بر الگوریتم گرگ خاکستری آمریکای شمالی معرفی گردید و دقت آن با روش های رگرسیونی مرسوم شامل رگرسیون های خطی، نمایی، چند جمله ای مرتبه ۲، چند جمله ای مرتبه ۳، و کسری مقایسه گردید. جهت مقایسه این روش و روش های رگرسیونی به (MAE)، خطای جذر میانگین مربعات (RMSE)، میانگین درصد قدر مطلق خطای (MAPE)، ضریب تعیین (R^2) و درصد داده هایی که خطای آنها کمتر از ۲۰ ثانیه می باشد (E_{20S}) استفاده گردید. مقادیر این شاخص های عملکردی برای داده های آموزشی در الگوریتم گرگ خاکستری آمریکای شمالی به ترتیب معادل $10/1, 13/8, 21/2, 0/746, 0/725$ و $76/5$ می باشد. همچنین مقادیر این شاخص های عملکردی برای داده های آزمایشی در الگوریتم گرگ خاکستری آمریکای شمالی به ترتیب برابر $27/4, 15/2, 27/4, 0/725$ و $72/7$ می باشد که مقادیر روش های رگرسیونی در تمامی شاخص ها بهتر بوده و نشان دهنده عملکرد مناسب مدل معرفی شده را نشان می دهد. در نهایت از رویکرد توانمند صحت سنجی خارجی استفاده گردید و پارامتر های شبیه خط رگرسیون (k و m) و شاخص های عملکرد (n) محاسبه شدند. با توجه به نتایج حاصل از این رویکرد، مقادیر به دست آمده این شاخص ها برای الگوریتم گرگ خاکستری آمریکای شمالی همگی در محدوده مجاز معرفی شده بوده و صحت مدل ها تأیید شد. به علاوه، این امر نشان دهنده این موضوع است که مدل جدید معرفی شده می تواند برای پیش بینی زمان سفر که هدف اصلی این پژوهش است، نتایجی معتبر ارائه کند.

منابع

- [1] I. Sanaullah, M. Quddus, M. Enoch, Developing travel time estimation methods using sparse GPS data, *Journal of Intelligent Transportation Systems*, 20(6) (2016) 532-544.
- [2] W. Chun-Hsin, H. Jan-Ming, D.T. Lee, Travel-time prediction with support vector regression, *IEEE Transactions on Intelligent Transportation Systems*, 5(4) (2004) 276-281.
- [3] S.M. Turner, W.L. Eisele, R.J. Benz, D.J. Holdener, *Travel time data collection handbook*, United States.

- geometric design of four-lane divided highways, Transport, 34(4) (2019) 425-436.
- [19] C. Vilarinho, J.P. Tavares, R.J. Rossetti, Intelligent traffic lights: Green time period negotiaton, Transportation research procedia, 22 (2017) 325-334.
- [20] H.C. Manual, HCM2010, Transportation Research Board, National Research Council, Washington, DC, (2010) 1207.
- [21] J. Pierezan, L.D.S. Coelho, Coyote optimization algorithm: a new metaheuristic for global optimization problems, in: 2018 IEEE Congress on Evolutionary Computation (CEC), IEEE, 2018, pp. 1-8.
- [22] A. Golbraikh, A. Tropsha, Beware of q2!, Journal of molecular graphics and modelling, 20(4) (2002) 269-276.
- [23] A. Tropsha, P. Gramatica, V.K. Gombar, The importance of being earnest: validation is the absolute essential for successful application and interpretation of QSAR models, QSAR & Combinatorial Science, 22(1) (2003) 69-77.
- [14] H. Naseri, H. Jahanbakhsh, F. Moghadas Nejad, Developing a novel machine learning method to predict the compressive strength of fly ash concrete in different ages, AUT Journal of Civil Engineering, (2019).
- [15] E.M. Golafshani, A. Behnood, Estimating the optimal mix design of silica fume concrete using biogeography-based programming, Cement and Concrete Composites, 96 (2019) 95-105.
- [16] S. Oh, Y.-J. Byon, K. Jang, H. Yeo, Short-term travel-time prediction on highway: A review on model-based approach, KSCE Journal of Civil Engineering, 22(1) (2018) 298-310.
- [17] M.M.M. Abdel-Aal, Factors Affecting Road Capacity Under non-Ideal Conditions in Egypt Mounir Mahmoud Moghazy Abdel-Aal, Ahmed Ebrahim Abu El-Maaty, Hassan Abdel-rahman Abo Samra, Nova, 7(1) (2018) 1-13.
- [18] G. Sil, A. Maji, S. Nama, A.K. Maurya, Operating speed prediction model as a tool for consistency based

چگونه به این مقاله ارجاع دهیم

A. Golroo , A. H. Fani, H. Naseri , Travel Time Modelling of Urban Roads By Application of Coyote Optimization-based Machine Learning Method, Amirkabir J. Civil Eng., 53(9) (2021) 3649-3664.

DOI: [10.22060/ceej.2020.17991.6730](https://doi.org/10.22060/ceej.2020.17991.6730)



